

Página www

Página de Abertura

Contenido



Página 1 de 39

Regresar

Full Screen

Cerrar

Abandonar

Estadística Bayesiana: Clase 15

Juan Carlos Correa

21 de abril de 2021

MCMC: Monte Carlo por Cadenas de Markov

Algoritmo Metropolis-Hastings

- El muestreo de importancia y el muestreo de rechazo trabajan bien si la densidad propuesta $q(\theta)$ es similar a $p(\theta)$.
- En problemas complejos puede ser difícil crear una única $q(\theta)$ que tenga esta propiedad.
- El algoritmo Metropolis utiliza una densidad propuesta q que depende del estado actual de $\theta^{(t)}$.
- La densidad $q(\theta'|\theta^{(t)})$ puede ser tan simple como una normal localizada en $\theta^{(t)}$ y no es necesario que se parezca a $p(\theta)$.

El algoritmo se resume así:

1. Comience en cualquier lugar, y digamos que estamos en $\theta^{(t)} = \theta$.
2. Genere θ^* de $q(\theta^*|\theta)$. θ^* es llamado un *punto candidato* y q es llamada una *distribución propuesta*.
3. Calcule

$$\alpha(\theta, \theta^*) = \min \left\{ 1, \frac{\xi(\theta^*) q(\theta|\theta^*)}{\xi(\theta) q(\theta^*|\theta)} \right\}$$

4. Acepte $\theta^{(t+1)} = \theta^*$ con probabilidad $\alpha(\theta, \theta^*)$.
5. En otro caso $\theta^{(t+1)} = \theta$

Note que la densidad objetivo ξ solo entra en el proceso a través del cociente $\frac{\xi(\theta^*)}{\xi(\theta)}$ y por lo tanto no hay necesidad de conocer la constante de normalización para implementar el algoritmo.

Casos especiales:

1. $q(\theta|\theta^*) = q(\theta^*|\theta)$: Algoritmo Metropolis.
2. $q(\theta|\theta^*) = g(\theta^*)$: Muestreador independiente.
3. $q(\theta|\theta^*) = \prod_{i=1}^k \xi(\theta_i|\theta^* < i, \theta_{>i}) \Rightarrow \alpha(\theta, \theta^*) = 1$: Muestreador de Gibbs.

El Algoritmo Metropolis

Aquí la distribución propuesta es simétrica, esto es,

$$q(\theta|\theta^*) = q(\theta^*|\theta),$$

como en el caso de una Normal centrada en el punto actual, entonces el factor

$$\frac{q(\theta|\theta^*)}{q(\theta^*|\theta)} = 1,$$

y el algoritmo Metropolis simplemente se limita a comparar el valor de la densidad objetivo en los dos puntos.

Visualización de Metropolis-Hasting

```
set.seed(12345)
```

```
# Distribución objetivo N(10,9)
```

```
# Distribución que propone N(theta,1)
```

```
#valor inicial=0
```

```
chequee<-function(teta.nuevo,teta.viejo){
```

```
  cociente<-dnorm(teta.nuevo,10,sd=3,log=T)
```

```
    -dnorm(teta.viejo,10,sd=3,log=T)
```

```
    +dnorm(teta.viejo,teta.nuevo,sd=1,log=T)
```

```
    -dnorm(teta.nuevo,teta.viejo,sd=1,log=T)
```

```
  cociente<-exp(cociente)
```

```
  proba<-min(c(1,cociente))
```

```
  acepta<-0
```

```
  if(runif(1)<proba) acepta<-1
```

```
  return(acepta)
```

```
}
```

Página www

Página de Abertura

Contenido



Página 7 de 39

Regresar

Full Screen

Cerrar

Abandonar

```
tetas<-teta.viejo<-0
```

```
xx<-seq(-20,40,length=100)
```

```
yy<-dnorm(xx,mean=10,sd=3)
```

```
plot(xx,yy,type='l',col='blue',ylim=c(0,0.6),xlim=c(-20,40))
```

```
points(xx,dnorm(xx,mean=teta.viejo,sd=1),type='l',col='red')
```

Página [www](#)

Página de Abertura

Contenido



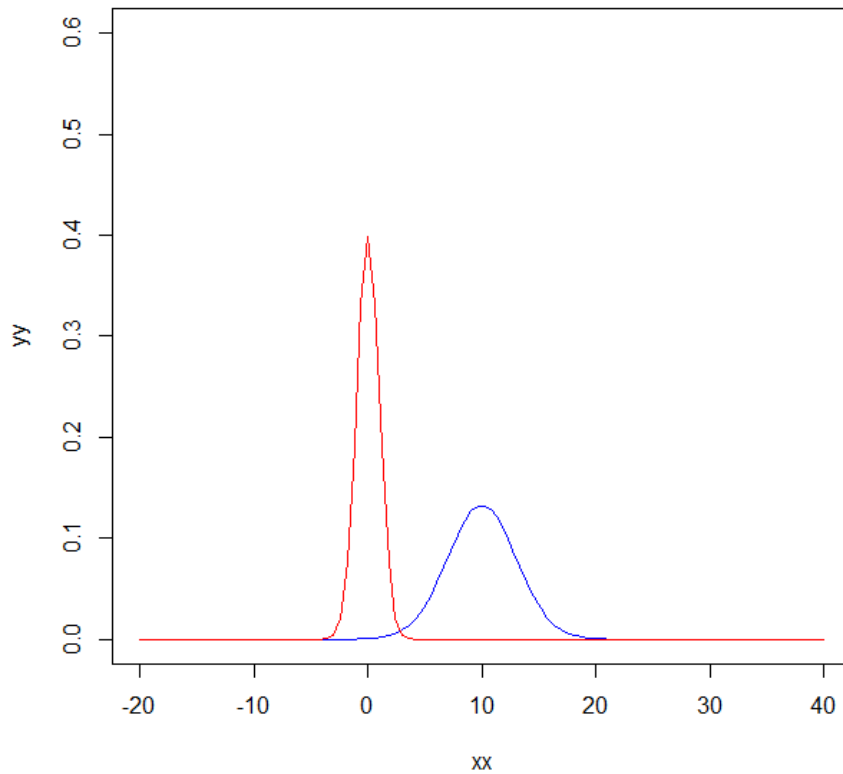
Página 8 de 39

Regresar

Full Screen

Cerrar

Abandonar



Página [www](#)

Página de Abertura

Contenido



Página 9 de 39

Regresar

Full Screen

Cerrar

Abandonar

```
for(i in 1:10000){  
  bandera<-0  
  while(bandera==0){  
    teta.nuevo<-rnorm(1,teta.viejo,sd=1)  
    #print(teta.nuevo)  
    resi<-chequee(teta.nuevo,teta.viejo)  
    if(resi==1)bandera<-1  
  }#fin while  
  teta.viejo<-teta.nuevo  
  tetas<-c(tetas,teta.nuevo)  
  plot(xx,yy,type='l',col='blue',ylim=c(0,0.6),xlim=c(-20,40))  
  points(xx,dnorm(xx,mean=teta.viejo,sd=1),type='l',col='red')  
  
}
```

Página www

Página de Abertura

Contenido



Página 10 de 39

Regresar

Full Screen

Cerrar

Abandonar

```
plot(tetas,type='l')
```

[Página www](#)

[Página de Abertura](#)

[Contenido](#)



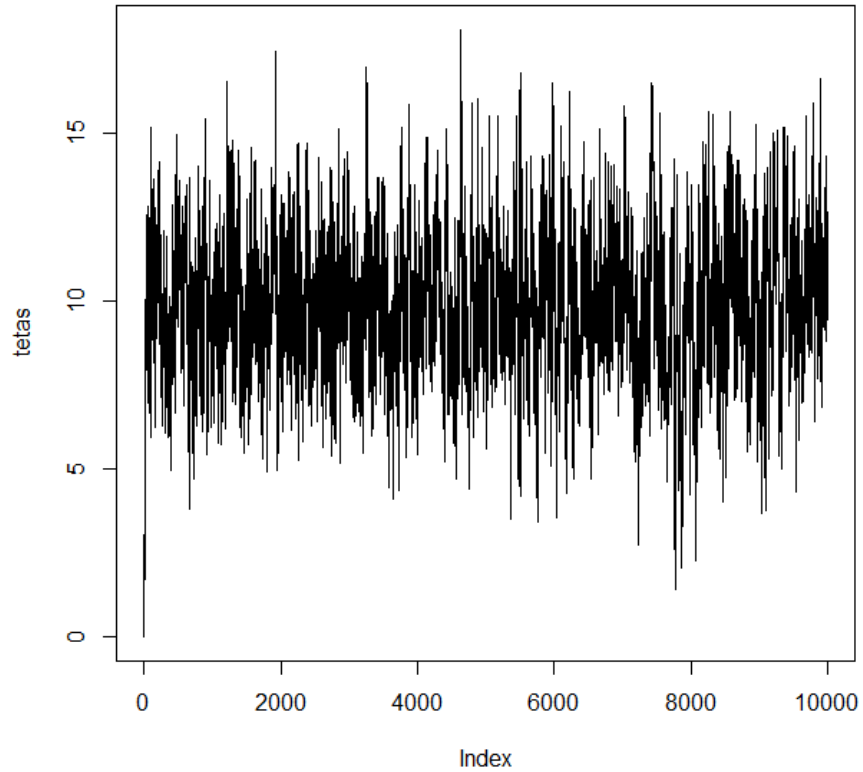
[Página 11 de 39](#)

[Regresar](#)

[Full Screen](#)

[Cerrar](#)

[Abandonar](#)



Página www

Página de Abertura

Contenido



Página 12 de 39

Regresar

Full Screen

Cerrar

Abandonar

```
tetas1<-tetas[-(1:200)]  
hist(tetas1,freq=F)  
points(xx,dnorm(xx,mean=10,sd=3),type='l',col='red')
```

```
mean(tetas1)  
[1] 9.924083  
var(tetas1)  
[1] 4.74014
```

[Página www](#)

[Página de Abertura](#)

[Contenido](#)



[Página 13 de 39](#)

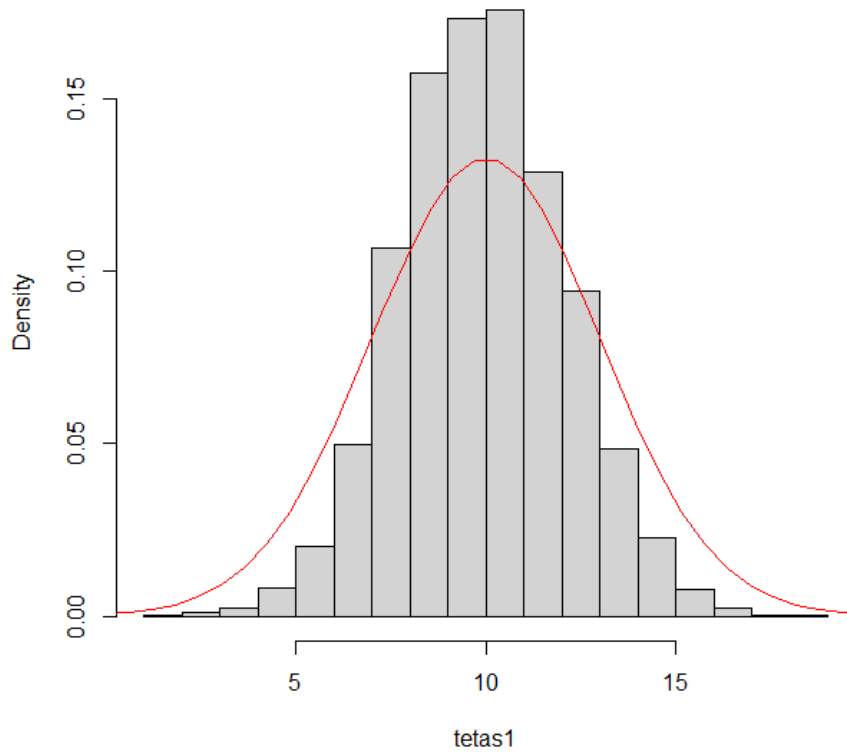
[Regresar](#)

[Full Screen](#)

[Cerrar](#)

[Abandonar](#)

Histogram of tetas1



[Página www](#)

[Página de Abertura](#)

[Contenido](#)



[Página 15 de 39](#)

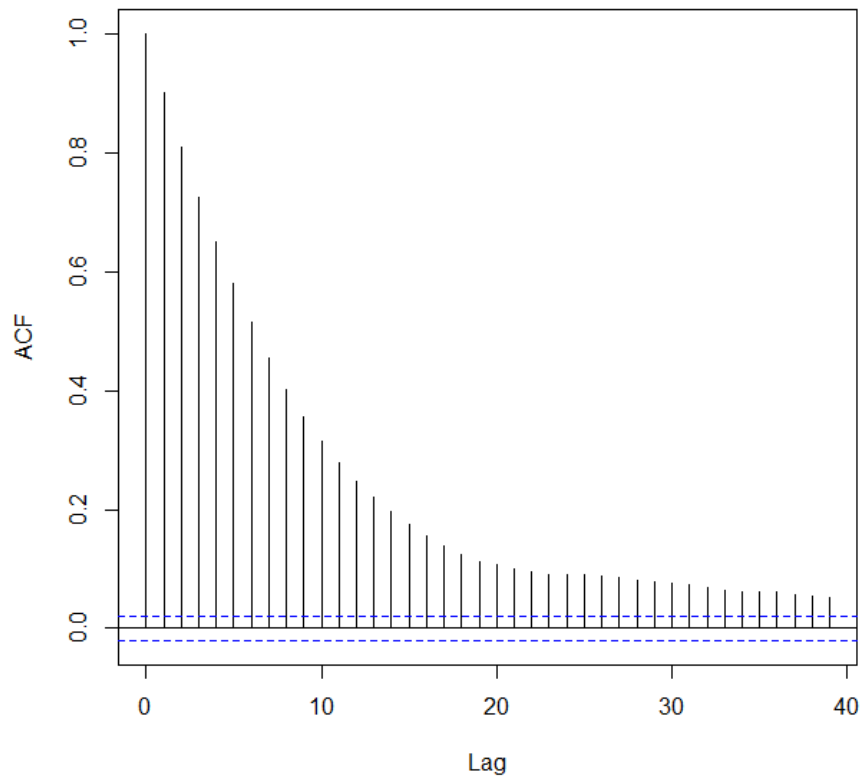
[Regresar](#)

[Full Screen](#)

[Cerrar](#)

[Abandonar](#)

Series tetas1



Página www

Página de Abertura

Contenido



Página 16 de 39

Regresar

Full Screen

Cerrar

Abandonar

```
pacf(tetas1)
ro1<-autocor$acf[2]
dif.max<-0.1 # diferencia entre la media real y la estimada máxima p
(n<- 9*(1+ro1)*qnorm(1-0.05/2)^2/(dif.max^2*(1-ro1)) )
```

```
[1] 66698.83
```


[Página www](#)

[Página de Abertura](#)

[Contenido](#)



[Página 17 de 39](#)

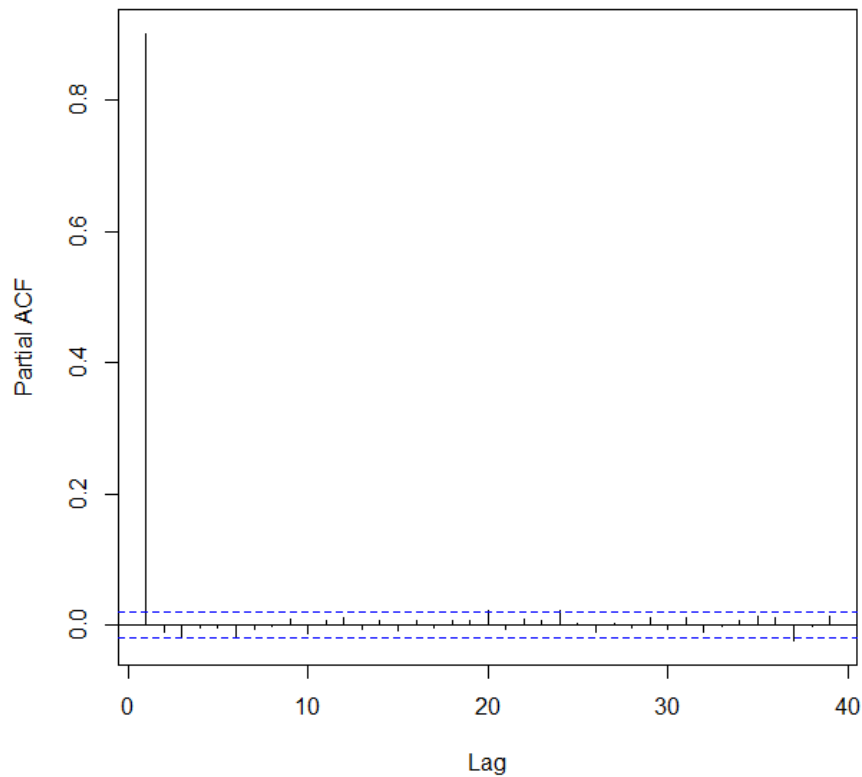
[Regresar](#)

[Full Screen](#)

[Cerrar](#)

[Abandonar](#)

Series tetas1



Muestreador Gibbs

Para obtener una muestra de la distribución conjunta $p(\theta_1, \dots, \theta_d)$ el Muestreador Gibbs itera sobre este ciclo:

- Muestree $\theta_1^{(i+1)}$ de $p\left(\theta_1 \mid \theta_2^{(i)}, \dots, \theta_d^{(i)}\right)$
- Muestree $\theta_2^{(i+1)}$ de $p\left(\theta_2 \mid \theta_1^{(i+1)}, \theta_3^{(i)}, \dots, \theta_d^{(i)}\right)$
- \vdots
- Muestree $\theta_d^{(i+1)}$ de $p\left(\theta_d \mid \theta_1^{(i+1)}, \dots, \theta_{d-1}^{(i+1)}\right)$

Ejemplo: La Distribución ZIP

Asumamos que X es una variable aleatoria discreta con soporte en los enteros nonegativos (una variable de conteo). Un problema que ocurre con cierta frecuencia en la práctica es que $X = 0$ se observa con una frecuencia significativamente mayor (o menor) que la predicha por el modelo asumido. Entonces la variable aleatoria ajustada Y puede ser descrita como

$$\begin{aligned}P(Y = 0) &= \omega + (1 - \omega)P(X = 0) \\P(Y = j) &= (1 - \omega)P(X = j), \quad j = 1, 2, 3, \dots\end{aligned}$$

Cuando $0 < \omega < 1$ el modelo tiene más ceros. Si $\omega < 0$ el modelo tiene menos ceros.



Un caso de especial importancia es cuando $X \sim \text{Poisson}(\lambda)$.
La verosimilitud en este caso es

$$\begin{aligned} L(\omega, \lambda) &= \prod_{i=1}^n P(Y_i = y_i) \\ &= \prod_{i=1}^n \left\{ (P(Y_i = 0))^{I(y_i=0)} (P(Y_i = y_i))^{1-I(y_i=0)} \right\} \\ &= \prod_{i=1}^n \left\{ (\omega + (1 - \omega)e^{-\lambda})^{I(y_i=0)} \left((1 - \omega) \frac{\lambda^{y_i} e^{-\lambda}}{y_i!} \right)^{1-I(y_i=0)} \right\} \\ &\propto (\omega + (1 - \omega)e^{-\lambda})^{N_0} (1 - \omega)^{n-N_0} \lambda^{\sum_{i=1}^n y_i (1-I(y_i=0))} e^{-\lambda(n-N_0)} \end{aligned}$$

donde

$$N_0 = \sum_{i=1}^n I(y_i = 0)$$



$$L(\omega, \lambda) \propto (\omega + (1 - \omega)e^{-\lambda})^{N_0} \\ \times (1 - \omega)^{n - N_0} \lambda^{\sum_{i=1}^n y_i (1 - I(y_i = 0))} e^{-\lambda(n - N_0)}$$

Ahora

$$\sum_{i=1}^n y_i (1 - I(y_i = 0)) = \sum_{i=1}^n y_i - \sum_{i=1}^n y_i I(y_i = 0) = \sum_{i=1}^n y_i - \sum_{i=1}^n 0 \times 1 = \sum_{i=1}^n y_i$$

$$L(\omega, \lambda) \propto \left(\frac{\omega}{(1 - \omega)} + e^{-\lambda} \right)^{N_0} \\ \times (1 - \omega)^n \lambda^{\sum_{i=1}^n y_i} e^{-\lambda(n - N_0)}$$

Así, si asumimos una distribución apriori no informativa para ω y para λ , tenemos

$$\begin{aligned}\xi(\omega, \lambda) &\propto K \\ \xi(\omega, \lambda | \text{Datos}) &\propto L(\omega, \lambda)\end{aligned}$$

Las distribuciones aposteriori condicionales serán

$$\begin{aligned}\xi(\omega | \lambda, \text{Datos}) &\propto \left(\frac{\omega}{(1-\omega)} + e^{-\lambda} \right)^{N_0} (1-\omega)^n \\ \xi(\lambda | \omega, \text{Datos}) &\propto \left(\frac{\omega}{(1-\omega)} + e^{-\lambda} \right)^{N_0} \lambda^{\sum_{i=1}^n y_i} e^{-\lambda(n-N_0)}\end{aligned}$$

Página www

Página de Abertura

Contenido



Página 23 de 39

Regresar

Full Screen

Cerrar

Abandonar

- Gupta et al. (1996) hacen referencia a los datos analizados por Leroux y Puterman en 1992 sobre movimientos fetales.
- Estos datos se recogieron en un estudio sobre respiración y movimiento corporal en fetos de ovejas diseñado para examinar los posibles cambios en el patrón de la actividad fetal durante las dos terceras partes del período de gestación.
- El número de movimientos efectuados por el feto fue registrado por ultrasonido. Se analizaron los conteos del número de movimientos en una sucesión particular de 240 intervalos de a 5 segundos.

Página [www](#)

Página de Abertura

Contenido



Página 24 de 39

Regresar

Full Screen

Cerrar

Abandonar

Número de movimientos	0	1	2	3	4	5	6	7
Frecuencia	182	41	12	2	2	0	0	1


```
# Estimación bayesiana de la distribución ZIP
```

```
y<-c(rep(0,182),rep(1,41),rep(2,12),3,3,4,4,7)
```

```
# Distribución Apriori
```

```
apriori<-function(l,w,alfa1,beta1,alfa2,beta2) dgamma(l,alfa1,  
scale=beta1)*dbeta(w,alfa2,beta2)
```

```
# Verosimilitud
```

```
zero.inflada<-function(l,w,y){  
  n<-length(y)  
  n0<-length(y[y==0])  
  res<-(w+(1-w)*exp(-l))n0*(1-w)(n-n0)*exp(-(n-  
n0)*l)*l(sum(y))  
  res  
}
```

```
pi<-seq(0,1,length=100)  
lambda<-seq(0,1.5,length=100)  
res<-outer(lambda,pi,FUN='zero.inflada',y)  
res.apriori<-outer(lambda,pi,FUN='apriori',3,3,2,2)
```

Página www

Página de Abertura

Contenido



Página 26 de 39

Regresar

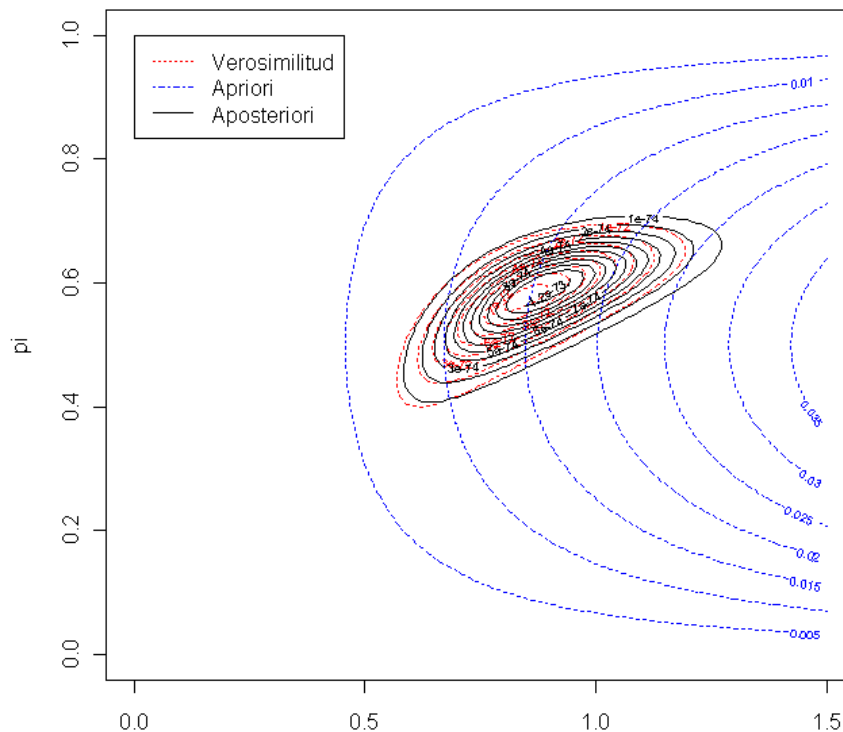
Full Screen

Cerrar

Abandonar

```
par(lty=1)
  contour(lambda,pi,res,lty=3,col='red')
par(new=T)
contour(lambda,pi,res.apriori,lty=4,col='blue')
res.aposte<-res*res.apriori
par(new=T)
contour(lambda,pi,res.aposte,lty=1)
title(xlab='Lambda',ylab='pi')
title(sub='Distribución apriori: Gamma(3,3)xBeta(2,2)')
legend(0,1,legend=c('Verosimilitud','Apriori','Aposteriori'),
      lty=c(3,4,1),col=c('red','blue','black'))
title(main='Distribución ZIP')
```

Distribución ZIP



Página [www](#)

Página de Abertura

Contenido



Página 28 de 39

Regresar

Full Screen

Cerrar

Abandonar

```
# Algoritmo Metropolis
# Función de Verosimilitud
L<-function(omega,lambda,y){

  indicador<-ifelse(y==0,1,0)
  prod1<-prod((omega+(1-omega)*exp(-lambda))^(indicador)
  prod2<-prod(((1-omega)*exp(-lambda))^(1-indicador)
              *lambda^(y*(1-indicador)))
  productoria<-prod1*prod2
  productoria
}
```

```
# Esta función propone nuevos candidatos
muestreadora<-function(teta.viejo){
  omega<-teta.viejo[1]
  lambda<-teta.viejo[2]
  valor.negativo<-1
  # Generamos una normal truncada entre 0 y 1
  while(valor.negativo==1){
    nuevo1<-rnorm(1,mean=omega)
    if(nuevo1>0 & nuevo1<1) valor.negativo<-0
  }

  valor.negativo<-1
  # generamos Una normal truncada mayor que 0
  while(valor.negativo==1){
    nuevo2<-rnorm(1,mean=lambda)
    if(nuevo2>0 ) valor.negativo<-0
  }

  teta.nuevo<-c(nuevo1,nuevo2)
  teta.nuevo
}
```

Página [www](#)

Página de Abertura

Contenido



Página 30 de 39

Regresar

Full Screen

Cerrar

Abandonar

```
# Esta función decide si se acepta el nuevo candidato
qmuestreadora<-function(nuevo,viejo,y){
  omega1<-viejo[1]
  omega2<-nuevo[1]
  lambda2<-nuevo[2]
  lambda1<-viejo[2]
  resultado<-(dnorm(omega1)*dnorm(lambda1))/
    (dnorm(omega2)*dnorm(lambda2))
  resultado<-resultado*L(omega2,lambda2,y)/
    L(omega1,lambda1,y)
  resultado<-min(1,resultado)
  resultado
}
```

```
# DATOS
```

```
y<-c(rep(0,182),rep(1,41),rep(2,12),3,3,4,4,7)
```

```
# VALOR INICIAL
```

```
viejo<-c(0.05,1)
```

```
Nsim<-10000
```

```
matriz.res<-viejo
```

```
for(i in 1:Nsim){
```

```
nuevo<-muestreadora(viejo)
```

```
prob.acept<-qmuestreadora(nuevo,viejo,y)
```

```
u<-runif(1)
```

```
if(u<prob.acept){
```

```
    viejo<-nuevo
```

```
    matriz.res<-rbind(matriz.res,nuevo)
```

```
  }
```

```
}
```

```
dim(matriz.res)
```

```
plot(matriz.res,type='l')
```

```
# Muestreador de Gibbs con datos del nro. de movimientos fetales  
# para encontrar parametros de una distribucion ZIP
```

```
muestra.omega <- function(lambda, nro.ceros,n){  
  rejilla <- seq(0.0001, 0.9999, length=1000)  
  proba <- (rejilla/(1-rejilla)+exp(-lambda))^nro.ceros*(1-  
    rejilla)^n  
  proba<-ifelse(is.na(proba),0,proba)  
  res <- sample(rejilla, 1, prob=proba)  
  res  
}  
# ensayo de la funcion 'muestra.omega  
# muestra.omega(1,3)  
muestra.lambda <- function(omega, Sy, n, n0){  
  rejilla <- seq(0.000001, Sy, length=100000)  
  proba <- (omega/(1-omega)+exp(-rejilla))^n0*  
    rejilla^Sy*exp(-rejilla*(n-n0))  
  res <- sample(rejilla, 1, prob=proba)  
  res  
}
```



```
# Datos: nro. de movimientos fetales en tabla de frecuencias
x <- 0:7
frec <- c(182, 41, 12, 2, 2, 0, 0, 1)
n <- sum(frec)
n0 <- frec[1]
Sy <- sum(x*frec)
teta0 <- c(0.5, 1)
lambda0<-1
omega0<-0.5
resultados <- c(lambda0,omega0)
#
for(i in 1:2000){
  lambda.n<-muestra.lambda(omega0,Sy,n,n0)
  resultados<-c(resultados,lambda.n)
  omega.0<-muestra.omega(lambda.n,n0,n)
  resultados<-c(resultados,omega.0)
}

resultados<-matrix(resultados,ncol=2,byrow=T)

resultados <- resultados[-(1:1001), ]
plot(lambda <- resultados[,1], omega <- resultados[,2],
      ylab='lambda', xlab='omega',pch='*')
library(hdrcde)
hdr.boxplot.2d(lambda,omega,prob=c(0.001,0.01,0.50,0.80,0.90,0.95),
  h = c(5,5),xlab='lambda',ylab='omega' )
points(lambda,omega,pch='*')
```

Página [www](#)

Página de Abertura

Contenido



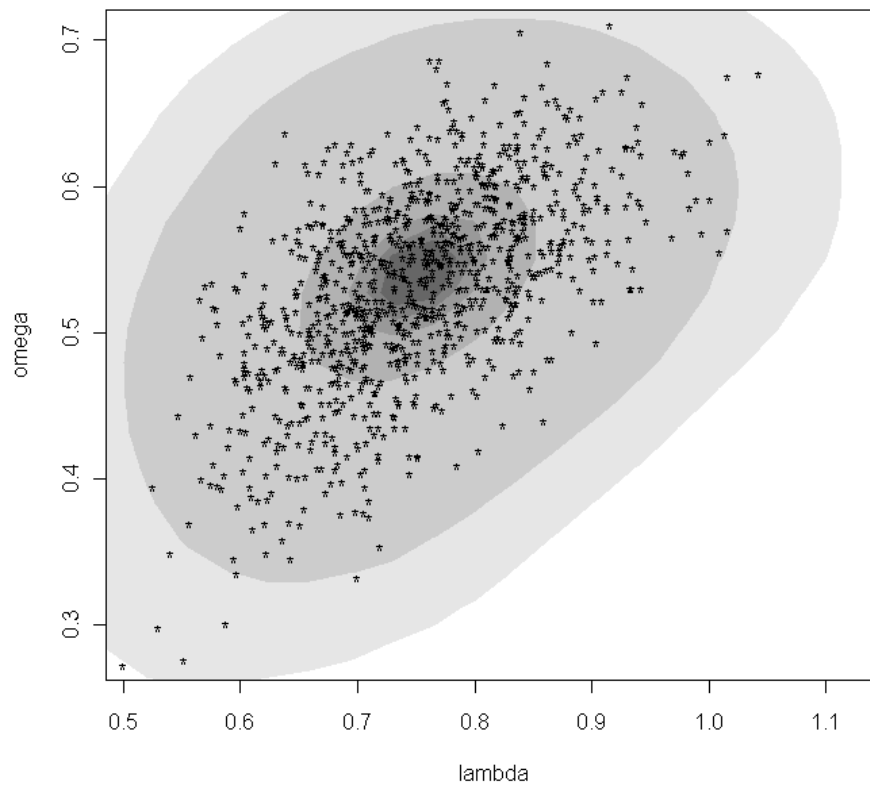
Página 34 de 39

Regresar

Full Screen

Cerrar

Abandonar



```
hdr.den(omega, prob = c(50, 95, 99),  
main='Densidad Aposteriori de Omega',  
xlab='Omega',ylab='Densidad')
```

\$hdr

	[,1]	[,2]
99%	0.3493410	0.6890070
95%	0.3944155	0.6579649
50%	0.4986371	0.5856638

\$mode

[1] 0.5581484

\$falpha

	1%	5%	50%
	0.2833354	0.9850834	4.8840382

```
hdr.den(lambda, prob = c(50, 95, 99),  
main='Densidad Aposteriori de lambda',  
xlab='lambda',ylab='Densidad')
```

Página [www](#)

Página de Abertura

Contenido



Página 36 de 39

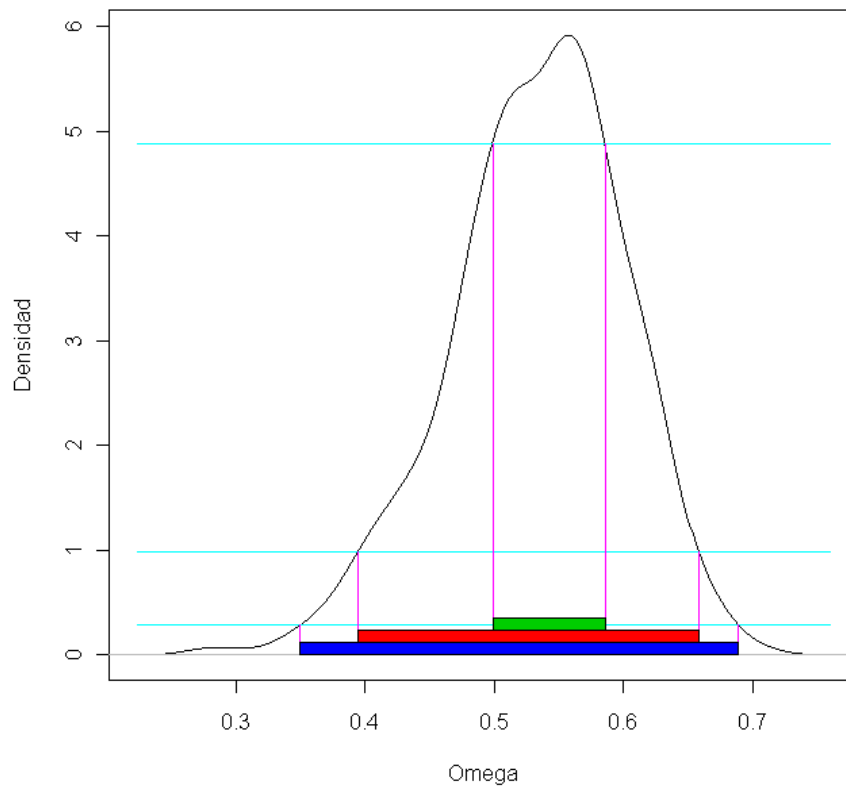
Regresar

Full Screen

Cerrar

Abandonar

Densidad Aposteriori de Omega



Página [www](#)

Página de Abertura

Contenido



Página 37 de 39

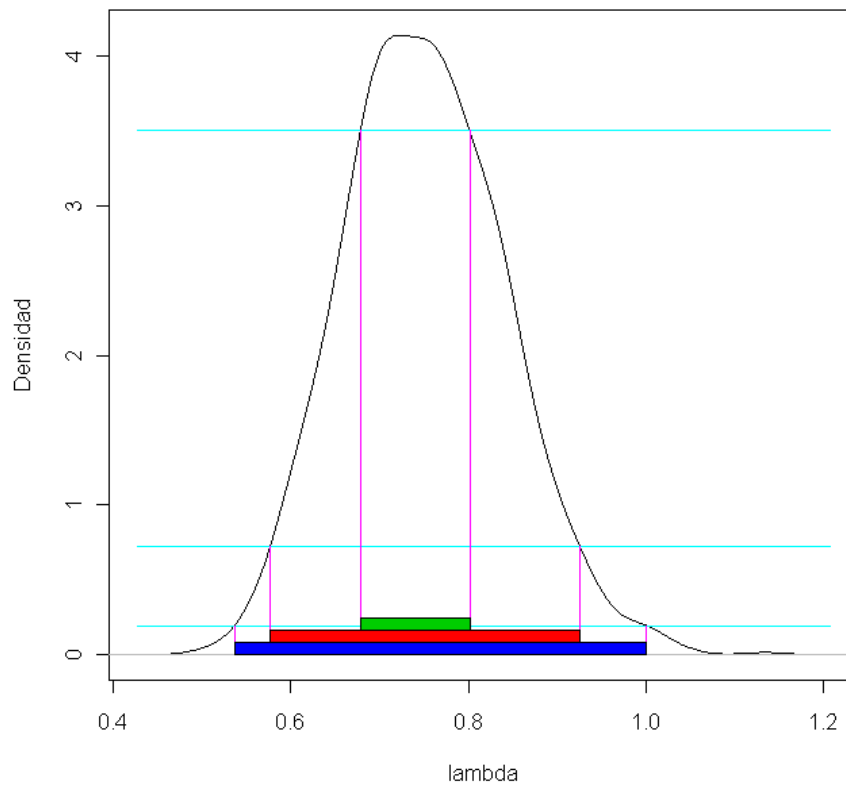
Regresar

Full Screen

Cerrar

Abandonar

Densidad Aposteriori de lambda



Página [www](#)

Página de Abertura

Contenido



Página 38 de 39

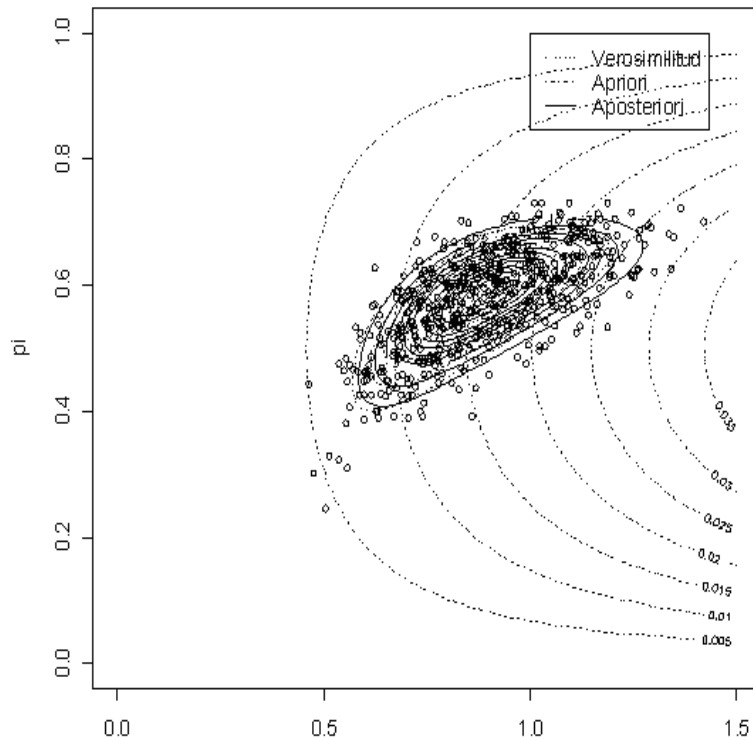
Regresar

Full Screen

Cerrar

Abandonar

Puntos muestrales usando el muestreador Metropolis



Lambda

Distribución apriori: $\text{Gamma}(3,3) \times \text{Beta}(2,2)$

Ejemplo: Modelo de regresión simple

Asumamos

$$Y_i \sim N(\beta_1 X_{i1} + \beta_2 X_{i2}, \sigma^2)$$

La formulación bayesiana del modelo consiste en

1. La función de verosimilitud $f(y|\beta_1, \beta_2, \sigma^2)$
2. La distribución apriori $\xi(\beta_1, \beta_2, \sigma^2)$

Estamos interesados en estimar las siguientes distribuciones posteriores:

- La distribución posterior conjunta

$$\xi(\beta_1, \beta_2, \sigma^2|y) \propto f(y|\beta_1, \beta_2, \sigma^2) \times \xi(\beta_1, \beta_2, \sigma^2)$$

- Distribuciones marginales posteriores $\xi(\beta_1|y)$, $\xi(\beta_2|y)$ y $\xi(\sigma^2|y)$

Página [www](#)

Página de Abertura

Contenido



Página 40 de 39

Regresar

Full Screen

Cerrar

Abandonar

- **El Muestreador de Gibbs:** Este muestreador genera muestras iterativamente de cada distribución posterior condicional completa.
 - Genere β_1 de $\xi(\beta_1|\beta_2, \sigma, y)$
 - Genere β_2 de $\xi(\beta_2|\beta_1, \sigma, y)$
 - Genere σ^2 de $\xi(\sigma^2|\beta_1, \beta_2, y)$

El Algoritmo Metropolis

- Genere un vector de candidatos nuevo $(\beta'_1, \beta'_2, \sigma^{2'})$ de una distribución conocida y fácil de usar

$$q(\beta_1, \beta_2, \sigma^2 | \beta'_1, \beta'_2, \sigma^{2'})$$

- Acepte los valores propuestos con probabilidad

$$\alpha = \min \left\{ 1, \frac{\xi(\beta'_1, \beta'_2, \sigma^{2'} | y) q(\beta'_1, \beta'_2, \sigma^{2'} | \beta_1, \beta_2, \sigma^2)}{\xi(\beta_1, \beta_2, \sigma^2 | y) q(\beta_1, \beta_2, \sigma^2 | \beta'_1, \beta'_2, \sigma^{2'})} \right\}$$

Ejemplo: Experimento Weibull/Gamma

Supongamos una muestra aleatoria, quizá con censura, de una $Weibull(\rho, \kappa)$:

$$f(Y|\rho, \kappa) = \kappa^m \rho^{mk} \prod_U Y_i^{\kappa-1} \exp\left(-\rho^\kappa \sum Y_i^\kappa\right)$$

donde m y \prod_U son el número y el producto sobre las observaciones sin censura.

Supongamos distribuciones apriori independientes Gamma para ρ y κ :

$$\xi(\rho, \kappa) \propto \rho^{\alpha-1} e^{-\beta\rho} \kappa^{\gamma-1} e^{-\delta\kappa}$$

La distribución posterior es:

$$\xi(\rho, \kappa) \propto \kappa^m \rho^{mk} \left[\prod_U Y_i^{\kappa-1} \exp \left(-\rho^\kappa \sum Y_i^\kappa \right) \right] \rho^{\alpha-1} e^{-\beta\rho} \kappa^{\gamma-1} e^{-\delta\kappa}$$

Las distribuciones condicionales son

$$\xi(\rho|\kappa) \propto \rho^{mk} \exp \left(-\rho^\kappa \sum Y_i^\kappa \right) \rho^{\alpha-1} e^{-\beta\rho}$$

$$\xi(\kappa|\rho) \propto \kappa^m \rho^{mk} \prod_U Y_i^{\kappa-1} \exp \left(-\rho^\kappa \sum Y_i^\kappa \right) \kappa^{\gamma-1} e^{-\delta\kappa}$$

Tiene una forma estándar difícil de trabajar con el muestreador de Gibbs, así que se recurre al Metropolis o Hastings.

Página [www](#)

Página de Abertura

Contenido



Página 44 de 39

Regresar

Full Screen

Cerrar

Abandonar

Un MCMC fácilmente implementable como:

- alterne entre ρ y κ
- proponga un nuevo valor de una distribución simétrica alrededor del valor actual.
- rechácelo si está por fuera del rango,
- acéptelo con probabilidad $\min \{1, \xi(\rho'|\kappa) / \xi(\rho|\kappa)\}$



Página www

Página de Abertura

Contenido



Página 45 de 39

Regresar

Full Screen

Cerrar

Abandonar



Página www

Página de Abertura

Contenido



Página 46 de 39

Regresar

Full Screen

Cerrar

Abandonar



Página www

Página de Abertura

Contenido



Página 47 de 39

Regresar

Full Screen

Cerrar

Abandonar



Página www

Página de Abertura

Contenido



Página 48 de 39

Regresar

Full Screen

Cerrar

Abandonar



Página www

Página de Abertura

Contenido



Página 49 de 39

Regresar

Full Screen

Cerrar

Abandonar



Página www

Página de Abertura

Contenido



Página 50 de 39

Regresar

Full Screen

Cerrar

Abandonar



Página www

Página de Abertura

Contenido



Página 51 de 39

Regresar

Full Screen

Cerrar

Abandonar